

(HUANJING KEXUE)

ENVIRONMENTAL SCIENCE

第39卷 第5期

Vol.39 No.5

2018

____ 中国科学院生态环境研究中心 主办

斜学出版社出版



ENVIRONMENTAL SCIENCE

第 39 卷 第 5 期 2018年5月15日

次 Ħ

氮氧同位素联合稳定同位素模型解析水源地氮源

金赞芳,张文辽,郑奇,朱晨阳,李非里*

(浙江工业大学环境学院,杭州 310032)

摘要:找出作为优质水源地的水库氮的来源对控制其富营养化问题非常重要.本研究选取杭嘉湖地区的4个水库(青山水库、对河口水库、四岭水库和里畈水库),利用氮、氧同位素技术结合稳定同位素模型(stable isotope analysis in R, SIAR),对水库的硝酸盐(NO3)来源进行了识别并计算了各污染源的贡献率.结果表明,4个水库中存在严重的氮污染,以硝酸盐为主,受人类活动干扰较大的青山水库,污染严重.4个水库86%以上的8¹⁸0值小于10‰,93%样品的8¹⁵N/8¹⁸0值小于1.3,说明水库中硝化反应明显而反硝化作用不显著.4个水库硝酸盐的主要来源是化学肥料和土壤氮,两者的贡献率为75%~82%,种植业面源污染给水源地水库带来的氮污染已非常严重;青山水库硝酸盐的来源还包括贡献率为25%的生活污水及粪肥、贡献率为7%的降水和贡献率为6%的工业废水,说明在人类活动强度大的区域生活污水及粪肥的污染也不可忽视;对河口水库、四岭水库和里畈水库硝酸盐的来源还包括降水,其贡献率分别为21%、24%和15%,可见在人为干扰较少的地区、降水对于水体硝酸盐的影响也不可忽略.

关键词:水源地水库;硝酸盐;氮氧同位素;硝化反应;稳定同位素模型

中图分类号: X142; X524 文献标识码: A 文章编号: 0250-3301(2018)05-2039-09 DOI: 10.13227/j. hjkx. 201709191

Contribution of Nitrogen Sources in Water Sources by Combining Nitrogen and Oxygen Isotopes and SIAR

JIN Zan-fang, ZHANG Wen-liao, ZHENG Qi, ZHU Chen-yang, LI Fei-li * (College of Environment, Zhejiang University of Technology, Hangzhou 310032, China)

Abstract: It is very important to identify nitrate sources in reservoirs that serve as high quality water sources to control its eutrophication. Stable isotopes ($\delta^{15}N$ and $\delta^{18}O$) and a Bayesian model (stable isotope analysis in R, SIAR) were applied to identify nitrate sources and estimate the proportional contributions of multiple nitrate sources in four reservoirs (Qingshan reservoir, Duihekou reservoir, Siling reservoir, and Lifan reservoir) that serve as sources of drinking water in the Hangjiahu area, one of the most densely populated and most quickly developing areas in East China. It was shown that nitrogen pollution, which was dominated by nitrate (NO_3^-) , existed in the four reservoirs. Greater human activities caused more nitrogen pollution (average NO_3^- concentration 0.21 mmol·L⁻¹) in the Qingshan reservoir. A significant positive correlation (P < 0.01) was observed between Cl⁻ and NO₃⁻. The analysis of the water in the Duihekou reservoir, Siling reservoir, and Lifan reservoir, with lower Cl concentrations and higher NO₃-/Cl ratios, suggested that chemical fertilizer was the main source, while the analysis of the water in the Qingshan reservoir, with medium Cl⁻ concentrations and NO₃⁻/Cl⁻ ratios, indicated a mixture of NO₃⁻ sources. The δ^{15} N ranged from 0.9% to 7.2%, and the δ^{18} O ranged from 2.8% to 14.1% in the four reservoirs. The δ^{18} O values in more than 86% of the water samples were less than 10%, and the $\delta^{15}N/\delta^{18}O$ values in 93% of the water samples were less than 1.3. It was identified that nitrification rather than denitrification acted as the primary N cycling process in the four reservoirs. SIAR was used to estimate the proportional contribution of five NO₃-sources (industrial wastewater, sewage/manure, chemical fertilizer, soil nitrogen, and precipitation) in the Qingshan reservoir and of three NO₃ sources (chemical fertilizer, soil nitrogen, and precipitation) in the Duihekou reservoir, Siling reservoir, and Lifan reservoir. The source apportionment results showed that chemical fertilizers and soil nitrogen were the dominant nitrate sources and their contributions were 75%-82%. It was revealed that nitrogen pollution in the water source reservoir caused by cropping non-point source pollution was very serious. Nitrate source contributions in Qingshan reservoir also included sewage/manure (25%), soil nitrogen (7%), and precipitation (6%), indicating that nitrogen pollution by sewage/manure should not be ignored in the higher human activity areas. The nitrate source in the Duihekou reservoir, Siling reservoir, and Lifan reservoir also included precipitation, with the nitrate contribution from precipitation at 21%, 24%, and 15%, respectively. It was suggested that precipitation contributed more nitrate to the water in areas with less human activity.

Key words: water source reservoir; nitrate; nitrogen and oxygen isotopes; nitrification; stable isotope analysis in R(SIAR)

城市化成为经济繁荣和社会进步的重要标志之一. 未来 20 年,城市化是中国社会变迁的主旋律. 但是,由于城市化进程中人类对自然资源大规模或不合理的开发利用以及大量废弃物的乱排滥放,给

收稿日期: 2017-09-21; 修订日期: 2017-11-06

基金项目: 国家自然科学基金项目(41673097, 41373122,

41273129)

作者简介: 金赞芳(1976~), 女, 博士, 教授, 主要研究方向为流 域氮循环, E-mail:jinzanfang@zjut.edu.cn

* 通信作者,E-mail:lifeili@zjut.edu.cn

许多国家和地区带来了不同程度的生态危机. 水资 源作为一种重要的自然资源之一,正面临着城市化 所带来的严峻挑战. 2012 年全国 980 个划定的饮 用水水源区中, 达到水功能区水质标准的仅占 53.1%, 其中作为优质水源地的水库, 其富营养化 问题较为突出[1~3]. 在浙江省, 水库饮用水源的个 数占城市集中式供水点总数的69%,全省约70% 的人口由水库供水,因此,保护水库水质是关系到 全省饮水安全和经济社会发展的重要任务[4~7]. 已 有研究对浙江省30座大中型饮用水水库调查发现: 2001年至2013年水库的营养水平总体上由贫营养 向富营养演变,其中,中营养水库20座,富营养水 库10座,总氮是浙江省水库的主要污染物,硝态盐 (NO3) 是总氮的主要赋存形式[4]. 因此, 切断营养 物质氮的输入,找出水库硝酸盐的来源是控制水库 富营养化的根本途径.

随着同位素技术的飞速发展,利用氮、氧同位 素技术(δ^{15} N and δ^{18} O)确定水体中硝酸盐的来源被 广泛应用^[8~19]. Bu 等^[19]发现辽宁海城河硝酸盐的 δ¹⁵N值4月和6月高、8月和10月低,硝酸盐的δ¹⁸O 值为 3.7‰~17.2‰且季节变化不明显: 在 4 月生 活污水及粪肥是主要硝酸盐污染源,在6月水体硝 酸盐主要来源是化肥, 硝化反应占主要地位, 而在 8月和10月水体硝酸盐主要来源是土壤氮和生活 污水及粪肥, 反硝化反应占主要地位. 在定性分析 水体中硝酸盐污染的来源的同时, 有学者利用基于 R 统计软件的稳定同位素模型 (stable isotope analysis in R, SIAR), 定量研究各硝酸盐污染源的 贡献率^[20~25]. Yang 等^[24]应用硝酸盐的δ¹⁵N和δ¹⁸O 值, 识别了浙江省长兴县水体中硝酸盐的主要来 源, 并应用 SIAR 模型定量研究了潜在污染源贡献 率的季节差异. 结果表明: 粪肥污水、大气沉降源 在12月贡献率高于5月, 化肥、土壤源贡献率5月 高于12月.在12月,粪肥污水贡献率最大,最高 在地下水中,达到61%,而化肥在5月贡献率最 大,流域均值达到37%.大气来源在4种氮污染源 中贡献率最低.

本文选择浙江省经济发展快、人口密度大的杭嘉湖地区已建的大型水库青山水库和对河口水库,中型水库里畈水库和四岭水库为研究对象,利用N、O同位素技术,通过分析水库的水质和N、O同位素特征,进行水库硝酸盐的源解析并探索可能存在的氮的迁移转化过程;结合 SIAR 模型,预测硝酸盐污染源的贡献率.通过以上研究,力求为有效

抑制杭嘉湖地区水库氮污染提供重要的理论依据, 将有利于城市化进程中水源地水质的达标控制和水 资源的有效利用.

1 材料与方法

1.1 研究区域概况

青山水库 (30°14′21″N, 119°46′34″ E) 位于浙 江省临安市东苕溪主干南苕溪中下游, 临安城区的 下游, 流域集雨面积 603 km², 总库容 2.13 亿 m³, 被列为杭州市重要的备用水源地. 随着临安城区的 经济高速发展,入湖各支流所携带的城市生活污 染、工业废水污染以及面源污染负荷日趋严重,导 致青山水库水质不断恶化[5]. 青山水库地处山林和 平原的交汇区,库区主要土地利用类型有:山林, 农田,城镇居民生活居住区及工业区.农业活动有 水稻、竹林、果树和茶树等的生产种植. 对河口水 库(30°31′24″N, 119°52′40″E)地处浙北德清县境 内,东苕溪支流余英溪中游,流域集雨面积148.7 km², 库容 1.469 亿 m³, 供水人口 13.8 万. 库区内 主要土地利用类型为山林,农业活动主要是竹林、 果树和板栗树种植. 四岭水库(30°25′16″N, 119°46′35″E)位于杭州市余杭区东苕溪水系北苕 溪支流太平溪上,流域集雨面积71.6 km²,库容 2782万 m³, 供水人口近 10 万, 库区内主要土地 利用类型为山林,农业活动主要是竹林、果树和 茶树种植. 里畈水库(30°20′11″N, 119°36′11″E) 位于临安天目山南麓,东苕溪支流南苕溪上游, 在青山水库的上游, 流域集雨面积83 km², 库容 2095万 m³, 供水人口近 20 万人, 库区内主要土 地利用类型为山林,农业活动主要是竹林、果树 和荼树种植. 这些水库除防洪外, 以城镇居民生 活用水供水为主,结合灌溉、发电等综合利用功 能, 供水人口达 40 万以上. 4 个水库所在东苕溪 流域地势西高东低, 因此水体水流方向为自西向 东流. 对河口水库, 四岭水库和里畈水库地处偏 远山林地区, 库区内有少量山区居民居住, 自 2014年5月浙江省开展"五水共治"以来,严禁未 经处理的生活污水直接排入水库, 因此库区生活 污水污染减少; 竹林、果树和茶树等的生产种植 过程中施用的化肥随着地表径流入库,产生农业 面源污染.

1.2 样品的采集

按照国家环境保护总局"地表水和污水检测技术规范(HJ/T 91-2002)^[26]", 2016 年 4 月在青山水

库布设8个采样点采集水样,2017年3月在对河口水库布设8个采样点,四岭水库布设4个采样点采集水样和里畈水库布设2个采样点.具体采样位置

如图 1 所示. 用 2.5 L 便携式采水器在水面以下约 50 cm 处采集水样 500 mL, 装入聚乙烯样品瓶. 采 回的水样及时带回实验室.

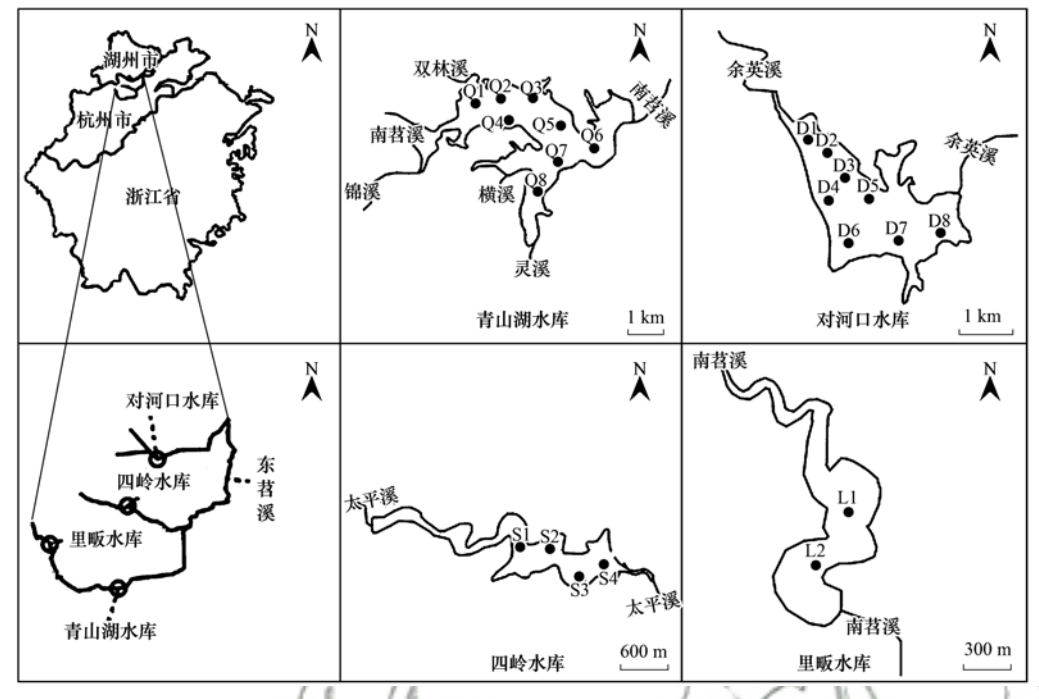


图1 采样点分布示意

Fig. 1 Distribution of the sampling sites

1.3 样品分析

溶解氧(DO)和水温(T)用便携式溶氧仪(雷 磁, JPB-607A) 在现场测定, 酸碱度(pH) 和电导率 (EC)分别用便携式 pH 计(雷磁, PHB-4)和便携式 电导率仪(雷磁, DDB-303A)在现场测定. 总氮 (TN)用碱性过硫酸钾-分光光度法测定(HJ 636-2012), HCO3 采用酸碱滴定法测定(GB/T 8538-2008)^[27,28]. 水样经 0.45 μm 滤膜过滤后, 装入 60 mL 聚乙烯小瓶中, 用离子色谱仪(戴安 ICS-900)进 行无机离子(Na⁺、Ca²⁺、K⁺、Mg²⁺、NH₄⁺、NO₃⁻、 NO_2^- 、 Cl^- 、 SO_4^{2-})的测定,未及分析的水样置于 -18℃冰箱中冷冻保存. 部分水样(Q1、Q3、Q5、 Q7、Q8、D1、D3、D6、D7、D8、S1、S3、L1、L2) 经 0.22 μm 滤膜过滤后, 装入 60 mL 聚乙烯小瓶中, 用于氮、氧同位素测定,未及分析的水样置于 -18℃冰箱中冷冻保存. 数据统计在 EXCEL、SPSS 16.0 和 GWChart 1.2 中进行.

氮、氧同位素则用细菌反硝化法测定 $^{[29,30]}$. 选择某种缺乏 N_2O 酶活性的反硝化菌,使 NO_3 定量转化为 N_2O 后不再继续反应成为 N_2 . 用载气氦将 N_2O 从样品试剂管中剥离出来,经纯化后送入质谱仪(Thermo Delta V Advantage)中,进行浓度及其

氮、氧同位素的测定. 分析误差 δ^{15} N在±0.3‰, δ^{18} O在±0.5‰. 硝酸盐中N、O 同位素的相对比值用 δ 表示:

$$\delta_{\text{sample}}(\%o) = \left[\frac{(R_{\text{sample}} - R_{\text{standard}})}{R_{\text{standard}}}\right] \times 1000$$

式中, R 代表样品和标准样品中的 15 N/ 14 N 或 18 O/ 16 O 的比值, 即 8^{15} N和 8^{18} O. N 同位素以大气氮(N_2)为参照标准, O 同位素以维也纳标准平均海水(vienna standard mean ocean water, V-SMOW)为参照标准.

1.4 同位素源解析模型(SIAR)PH

本研究使用 SIAR 同位素源解析模型计算对各 氮污染源的贡献率. SIAR 模型表达如下:

$$X_{ij} = \frac{\sum_{k=1}^{K} p_k q_{jk} (S_{jk} + C_{jk})}{\sum_{k=1}^{K} p_k q_{jk}} + \varepsilon_{ij}$$

$$S_{jk} \sim N(\mu_{jk}, \omega_{jk}^2)$$

$$C_{jk} \sim N(\lambda_{jk}, \tau_{jk}^2)$$

$$\varepsilon_{jk} \sim N(0, \sigma_i^2)$$
(1)

式中, X_{ij} 表示第 i 个样品中第 j 种同位素的值($i = 1, 2, 3, \dots, N; j = 1, 2, 3, \dots, J$); S_{jk} 是第 k 种源中第 j 种同位素的值($k = 1, 2, 3, \dots, K$), μ_{jk} 为平

均值, ω_{jk}^2 为正态分布的方差; C_{jk} 是第j种同位素在第k个源上的分馏系数, λ_{jk} 为平均值, τ_{jk}^2 为正态分布的方差; p_k 为第k个源的贡献率,它由模型计算得到; q_{jk} 是同位素j在第k种源中的浓度; ε_{ij} 为残差,表示各混合物间剩下的未量化的变异,平均值为0, σ_i^2 为正态分布的方差.

2 结果与分析

2.1 水库的水化学特征

从表1可以看出,4个水库的pH值变化范围为7.0~8.1,总体呈中性偏碱性,其中青山水库的pH值略高于其他3个水库(对河口水库,里畈水库和四岭水库).4个水库的水温变化范围为12.0~18.0℃,在4月采样的青山水库平均水温明显高于其他3个在3月采样的水库,杭州4月的气温高于3月,水库水温的差异说明水库表层水容易受地表状况的影响.4个水库的DO值变化范围为0.22~0.28 mmol·L⁻¹,说明位于支流上游山林地区的水

库 DO 含量高. 4 个水库的 DO 平均浓度无明显差 异,可见温度对 DO 的影响在这 4 个水库中并不显 著. 青山水库 EC 值(247~275 μS·cm⁻¹)比其他 3 个水库 EC 值(60~80 μS·cm⁻¹)的 3 倍都高. 青山 湖 EC 值高, 相应的各阴离子(HCO; 、NO; 、Cl-、 SO₄²⁻)和阳离子的浓度也高(Ca²⁺、Mg²⁺、Na⁺、 K⁺). 青山水库主要阴离子的浓度次序依次为 $HCO_3^- > SO_4^{2-} > NO_3^- > Cl^-$, 阳离子的浓度次序依 次为 Ca²⁺ > Mg²⁺ > Na⁺ > K⁺; 其他 3 个水库主要 阴离子的浓度次序与青山水库一致, 而阳离子的浓 度次序依次为 Ca²⁺ > Na⁺ > Mg²⁺ > K⁺. 利用 GWChart 软件做了 Piper 图(图 2), 由 Piper 图可 知, 4个水库主要的阴离子为 HCO3(约占阴离子总 量的60%);主要的阳离子则有明显的差异.青山 水库中主要阳离子为 Ca2+(占阳离子总量的 47%) 和 Mg²⁺ (占阳离子总量的 23%), 水属于 Ca²⁺ + Mg²⁺-HCO₃ 型; 其他 3 个水库主要阳离子为 Ca²⁺ (占阳离子总量的 64%), 水属于 Ca²⁺-HCO₃型.

表 1 4 个水库水质参数统计1

				Table 1 Statis	tical paramete	ers of wate	r quality	in the fou	ır reserve	ırs	\	}	3 /	
水库	项目	pН	T ∕°C	EC /μS·cm ⁻¹	NH_4^+ $/\mu mol \cdot L^{-1}$	DO	HCO ₃	ql-	SO ₄ ²⁻	K +√	Na +	Ca ^{2 +}	Mg ² +	NO ₃
青山水库	Max.	8.1	18.0	275	40. 00	0. 28	1. 35	0.41	0. 27	0. 20	0. 55	0. 56	0.60	0. 22
(QS)	Min.	7.5	15. 3	247	3. 57	0. 23	0. 98	0. 21	0. 25	0.04	0. 25	0. 30	0.16	0. 18
N = 8	Ave.	7.9	17. 0	262	11. 62	0. 25	1. 21	0. 28	0. 26	0.08	0. 37	0.48	0.40	0.21
77.5	S.D.	0. 2	0.9	10	11. 97	0. 01	0. 13	0.06	0.01	0.05	0. 12	0.10	0. 13	0.01
对河口水库	Max.	7.7	14. 8	80	8. 57	0. 26	0. 37	0.06	0. 11	0.06	0. 28	0.38	0.08	0.11
(DHK)	Min.	7. 0	12. 0	60	1. 28	0. 22	0. 27	0.03	0.05	0.02	0.11	0. 27	0.05	0.05
N=8	Ave.	7. 5	13. 4	66	5. 52	0. 24	0.31	0.05	0.08	0.03	0. 19	0.34	0.07	0.08
7-0	S. D.	0. 2	1.0	6	2. 85	0.02	0. 03	0.01	0.02	0.01	0.06	0.05	0.01	0.02
四岭水库	Max.	7.7	14. 4	78	7. 37	0. 26	0. 37	0.06	0.07	0.04	0. 24	0.41	0.09	0.10
(SL)	Min.	7.3	12. 3	60	4. 18	0. 25	0. 23	0.03	0.03	0.02	0. 15	0. 29	0.06	0.03
N=4	Ave.	7.5	13. 2	69	5. 92	0. 25	0.30	0.05	0.06	0.03	0. 20	0.37	0.08	0.07
1 v = 4	S. D.	0. 1	0.9	7	1. 35	0.01	0.08	0.01	0.02	0.01	0. 03	0.06	0.02	0.02
里畈水库	L1	7.5	12.8	71	5.71	0. 25	0.45	0.03	0.04	0.04	0. 18	0.35	0.12	0.06
(LF)	L2	7.3	13. 1	78	4. 29	0. 27	0. 35	0.04	0.06	0.03	0. 19	0. 27	0. 12	0.07

1) N: 样品数; DO、HCO $_3^-$ 、Cl $^-$ 、SO $_4^{2-}$ 、K $^+$ 、Na $^+$ 、Ca $^{2+}$ 、Mg $^{2+}$ 、NO $_3^-$ 单位: mmol·L $^{-1}$

4 个水库的 NO_3^- 变化范围分别为(0.03~0.22 $mmol \cdot L^{-1}$) 要 远 高 于 NH_4^+ (1.28 ~ 40.00 $\mu mol \cdot L^{-1}$). NO_2^- 含量在 4 个水库的绝大多数样品中未检出,因此在文中不做讨论. NO_3^- 最高浓度和 NH_4^+ 最高浓度均出现在青山水库,青山水库总体 NO_3^- 和 NH_4^+ 浓度 较高,平均值分别为 0.21 $mmol \cdot L^{-1}$ 和 11.62 $\mu mol \cdot L^{-1}$. 对河口水库、四岭水库和里畈水库 NO_3^- 的平均浓度分别为 0.08、0.07 和 0.07 $mmol \cdot L^{-1}$; NH_4^+ 的平均浓度分别为 5.52、

5. 92 和 5. 00 μ mol·L⁻¹. 水中可溶性无机氮的主要存在形式是 NO₃⁻,占可溶性无机氮的 84% 以上. 按照国家地表水环境质量标准(GB 3838-2002)对于水源地的规定,要求达到 III 类水的标准,即总氮 $\leq 1.0 \text{ mg·L}^{-1[31]}$. NO₃⁻ 和 NH₄⁺ 都是总氮的组成部分,由表 1 可知,青山水库 100% 的样品,对河口水库、四岭水库和里畈水库超过 50% 的样品,它们的 NO₃⁻ 和 NH₄⁺ 的总含氮量都超过了 1. 0 mg·L⁻¹,可见这 4 个水源地水库氮污染严重.

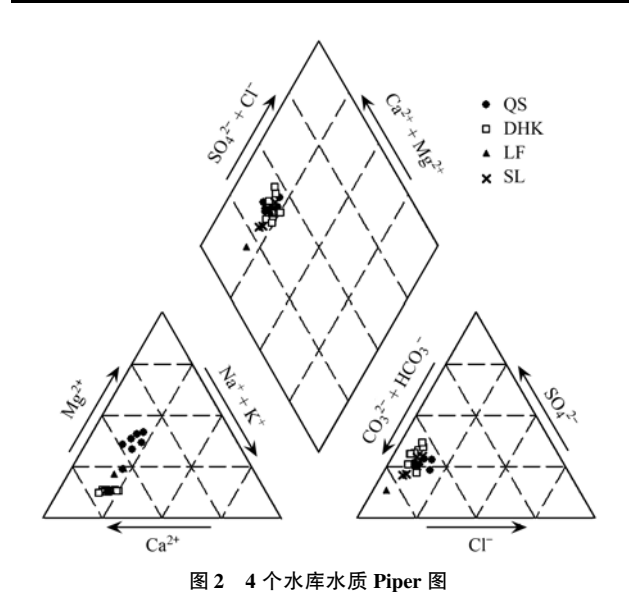
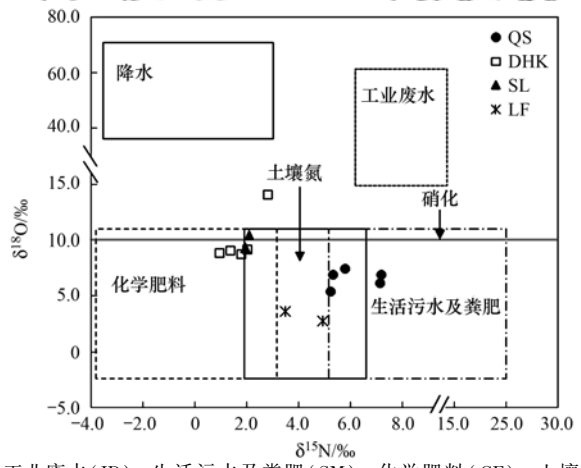


Fig. 2 Piper diagrams for surface water sampled in the four reservoirs

2.1 水库水的硝酸盐同位素特征

青山水库 δ^{15} N值的变化范围为 5. 2‰ ~ 7. 2‰, δ^{18} O值的变化范围为 5. 4‰ ~ 7. 6‰; 对河口水库 δ^{15} N值的变化范围为 0. 9‰ ~ 2. 8‰, δ^{18} O值的变化范围为 8. 9‰ ~ 14. 1‰; 里畈水库的 δ^{15} N值为 3. 5‰ 和 4. 9‰, δ^{18} O值为 2. 8‰和 3. 7‰; 四岭水库的 δ^{15} N值为 1. 9‰和 2. 1‰, δ^{18} O值为 9. 3‰和 10. 5‰(图 3).



工业废水(ID)、生活污水及粪肥(SM)、化学肥料(CF)、土壤 氮(SN)和降水(PR)的 δ^{15} N和 δ^{18} O值来自参考文献[12,13,16,24,32,33]

图 3 4 个水库水的 δ^{15} N 和 δ^{18} O 值

Fig. 3 Relationship between $\delta^{15}N$ and $\delta^{18}O$ values in surface water in the four reservoirs

3 讨论

3.1 水库水化学特征影响因子

从 EC 值和各离子浓度值看出青山水库水质和

其他3个水库的水质明显不同(表1). 虽然自2014 年5月浙江省开展"五水共治"以来,严禁未经处理 的工业废水和生活污水直接排入青山水库, 但是青 山水库位于临安城区中心的下游, 入库支流灵溪、 横溪、锦溪、南苕溪和双林溪所携带的生活污水污 染、工业废水污染和农业面源污染负荷日趋严重, 这是导致青山水库较高的 EC 值的直接原因. 因此, 受到更多人为干扰的青山水库 NO; 和 NH; 的浓度 远高于其他3个水库. 而其他3个水库位于受人为 干扰较少的山林地区,周围只有一定的农业活动和 少量的农村居住区, 相对 EC 值就低. 天然水中 Ca²⁺、Mg²⁺的主要来源与地质环境(土壤、岩石)密 切相关, 本研究中发现青山水库水 Mg²⁺含量较高, 2016 年临安工业企业废水排放量 843.97 万 t, 其中 大部分工业废水是经锦溪和横溪汇入青山水 库[34,35], 因此青山水库相对高含量 Mg²⁺可能是工 业废水的排放导致.

Cl-在水环境中是相对稳定的, 其可能来源有 生活污水、人和动物的排泄物、工业废水等人为污 染源, 因此 Cl 可以作为污染源的指示剂. 很多学 者采用 Cl-摩尔浓度和 NO、摩尔浓度的关系以及 和 NO₃-/Cl-比值的关系来判断 NO₃-的来源,低 Cl⁻浓度和高 NO, /Cl⁻ 比值表示水样的 NO, 主要 来源是化学肥料; 高 Cl ~浓度和低 NO3 / Cl ~ 比值表 示水样的 NO; 主要来源是生活污水及粪肥[36,37]. 从图 4 可以看出, 在对河口水库、里畈水库和四岭 水库, Cl⁻和 NO, 浓度都很低, 表明在山林地区的 3个水库受人为活动的影响较小. 而青山水库在南 苕溪的中下游,随着河流流经农业区和城市,含有 高 Cl 和 NO; 浓度的农业废水、生活污水及粪肥排 入支流从而汇入青山水库,导致青山水库含有较高 浓度的 Cl - 和 NO, - . 4 个水库的 Cl - 和 NO, - 浓度呈 极显著相关(R = 0.914, P < 0.01, n = 22), 说明 Cl⁻和 NO₃ 有相同的来源. 对河口水库、里畈水库 和四岭水库较低的 Cl⁻浓度(<0.10 mmol·L⁻¹)和 较高的 NO, 7/Cl 比值(>1)表明这 3 个水库 NO, 7 的来源主要是化学肥料. 已有研究表明东苕溪上游 河段虽然人为干扰少,但普遍种植的经济林(如竹 林、果树等)使用化肥,而这3个水库(河口水库、 里畈水库和四岭水库)正好位于东苕溪的上 游^[38,39]. 青山水库中等大小的 Cl⁻浓度(0.20~ 0.50 mmol·L⁻¹)和 NO₃-/Cl⁻比值(0.5~1.0)表明 青山水库的 NO、是多种源的混合.

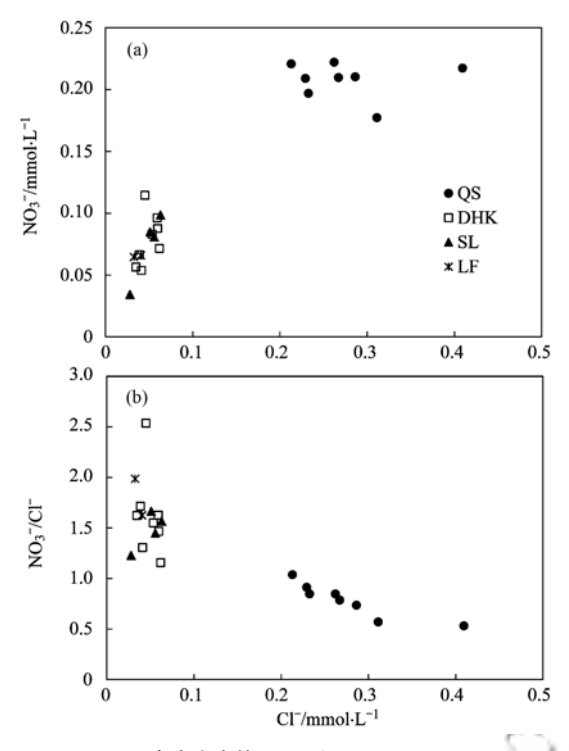


图 4 4 个水库水的 NO₃⁻ 和 Cl⁻ 及 NO₃⁻/Cl⁻
和 Cl⁻ 摩尔浓度关系

Fig. 4 Relationship between NO_3^- and Cl^- and variations of NO_3^-/Cl^- with Cl^- molar concentrations in the surface water in the four reservoirs

3.2 水库硝酸盐来源解析

本研究的δ¹SN值和δ¹SO值与 Liang 等[38] 在东苕溪流域开展的研究结果相一致,这是由于本研究 4个水库所在的东苕溪上游区域,近 10 年来该区域土地利用类型没有大规模改变,南苕溪、太平溪和余英溪的上游仍是以山林和农村居住区为主,南苕溪中下游是山林、农田、临安城区并伴有工业园区. 水体中 NO₃ 的来源主要包括降水、土壤氮、化学肥料、工业废水和生活污水及粪肥. 根据典型来源的硝酸盐氮、氧同位素值(δ¹SN值和δ¹SO值)分布,将 4 个水库的δ¹SN值和δ¹SO值在图 3 中表示,本研究发现,青山水库 NO₃ 的δ¹SN值和δ¹SO值较高,分布在生活污水和土壤氮区间;对河口水库和四岭水库NO₃ 的δ¹SN值和δ¹SO值较低,分布在化学肥料和土壤氮区间;里畈水库 NO₃ 的δ¹SN值和δ¹SO值分布在土壤氮区间.

已有研究表明,地表水 NO₃ 含量和同位素组成受周边土地利用类型的影响^[11,22].途经上游农业区、城镇和工业区,河水汇入青山水库,青山水库 NO₃ 的主要来源包括降水、土壤氮、化学肥料、生活污水及粪肥和工业废水.对河口水库、四岭水库

和里畈水库在山林地区,周围也有一定的竹林、茶树种植和果树种植,无生活污水的直接排放,因此这3个水库 NO_3 "的主要来源包括降水、土壤氮和化学肥料.

3.3 水库硝酸盐迁移转化过程的识别

 NO_3^- 中的氮、氧同位素组成不仅取决于不同的 NO_3^- 来源,也受水生系统中生物活动的影响,如硝化、反硝化作用.相对于大气沉降和化肥中的 NO_3^- 的氧同位素组成,由硝化作用形成的硝酸盐显著地贫 ^{18}O . 本实验 4 个水库 $\delta^{18}O$ 值变化范围为 2.8% $^{\circ}$ ~ 14.1% $^{\circ}$,值域范围较窄.根据 Xue 等 $^{[16]}$ 总结的硝化作用产生的 NO_3^- 的 $\delta^{18}O$ 值 $^{\circ}$ — 10% $^{\circ}$,本研究中大多数水样(> 86%) $\delta^{18}O$ 值小于 10% ,说明这些水库存在强烈的硝化作用.

反硝化作用能还原 NO_3^- ,释放出分子态氮 (N_2) 或者氧化亚氮 (N_2O) 至大气,在这过程中由于反硝化速率、温度及底物浓度等因素,能致使剩余底物中 NO_3^- 的 δ^{15} N值和 δ^{18} O值升高且其同位素值域范围较广.已有研究表明,在水体中,若 δ^{15} N和 δ^{18} O的比值为 $1.3:1\sim2:1$ 之间,则表示存在反硝化作用 $^{[16,23,37]}$.在本研究中,水样的 δ^{15} N值和 δ^{18} O的比值介于 $0.1\sim1.74$ 之间,93%样品的 δ^{15} N和 δ^{18} O的比值介于 1.3,基本可以证明这 4个水库中没有明显的反硝化作用存在.这可能是由于水库中溶解氧含量充足,水体环境不利于反硝化作用的发生.

3.4 利用 SIAR 模型计算水库 NO. 各源的贡献率

各种硝酸盐源的初始同位素特征值的均值和方差来自文献[12,13,16,24,36,37](图 4). 利用 SIAR 模型计算 NO_3^- 各源的贡献率时,假设公式 (1)中的分馏因子 $C_{j_*}=0$,根据分析,水库中微生物反硝化作用较弱,因此该假设成立. 本研究认为青山水库 NO_3^- 的源有 5 种:工业废水(ID)、生活污水及粪肥(SM)、化学肥料(CF)、土壤氮(SN)和降水(PR);对河口水库、四岭水库和里畈水库 NO_3^- 的源有 3 种:化学肥料、土壤氮、降水.

根据 SIAR 模型输出结果发现,青山水库 5 种 NO_3^- 源的贡献率依次为:化学肥料(35%)>土壤氮(27%)>生活污水及粪肥(25%)>降水(7%)>工业废水(6%);对河口水库 3 种 NO_3^- 源的贡献率依次为:化学肥料(41%)>土壤氮(38%)>降水(21%);四岭水库 3 种 NO_3^- 源的贡献率依次为:土壤氮(39%)>化学肥料(37%)>降水(24%);里 畈水库 3 种 NO_3^- 源的贡献率依次为:土壤氮

(51%) > 化学肥料(34%) > 降水(15%)(图 5 和表 2).

表 2 基于 SIAR 模型的各水库硝酸盐的贡献率1)/%

Table 2 Mean probability estimates of the source

contributions apportioned by SIAR/%						
污染源	青山 水库	对河口 水库	四岭 水库	里畈 水库		
工业废水	6	_	_	_		
生活污水/粪肥	25	_	_	_		
化学肥料	35	41	37	34		
土壤氮	27	38	39	51		
降水	7	21	24	15		

1)"一"表示该源的贡献率不用计算

本研究发现,4个水库中,化学肥料对这4个水库的贡献都超过了34%,这与4个水库都位于山林为主的农业区密切相关,种植业面源污染具有随机、分散、范围广、复杂、难监测等特点,治理难度大.青山水库尽管在城区的下游,化学肥料的贡献率还是大于生活污水及粪肥,这说明随着浙江省"五水共治"工作的推进,农村和城镇生活污水的排放得到有效控制,而农业种植带来的面源污染的控制工作还需加强,特别是需要控制氮肥的过量施用,提高氮肥的使用效率.土壤氮在4个水库中,

对水体硝酸盐的贡献率较高(27%~51%).已有研究表明:林地土壤水溶性有机氮在土壤氮库中占有更重要的地位,许多林地土壤水溶性有机氮的含量是NH4+N和NO3-N的 100 多倍,东苕溪上游经济林施用化学肥料,导致土壤水溶性有机氮浓度比天然林高 21 倍[40,41].山林地区林地土壤较高的土壤水溶性有机氮随着降雨造成的水土流失进入水库,在库内发生硝化反应,成为水体硝酸盐.化学肥料和土壤氮的贡献率占了本研究 4 个水库硝酸盐总贡献率的 72%~85%,可见种植业面源污染已成为水源地水环境氮污染的一大污染源.受人为干扰较少的对河口水库、四岭水库和里畈水库降水的贡献率也较高(15%~24%),说明降水对于受人为干扰较少的水源地水库氮污染的贡献也不可忽略.

本研究利用 SIAR 模型定量计算了 4 个水库硝酸盐各污染源的贡献率,该结果与水化学结合氮氧同位素的分析结果较为一致,但是其研究仍有很大不足. 水体氮的迁移转化过程如:硝化、反硝化等过程都会造成氮的同位素分馏,从而影响水体硝酸盐的 δ^{15} N和 δ^{18} O值. 在本研究中,假设分馏因子 C_{μ} = 0,没有考虑同位素分馏对 δ^{15} N和 δ^{18} O值的影响,这会给污染源的贡献率造成一定的偏差. 未来的研

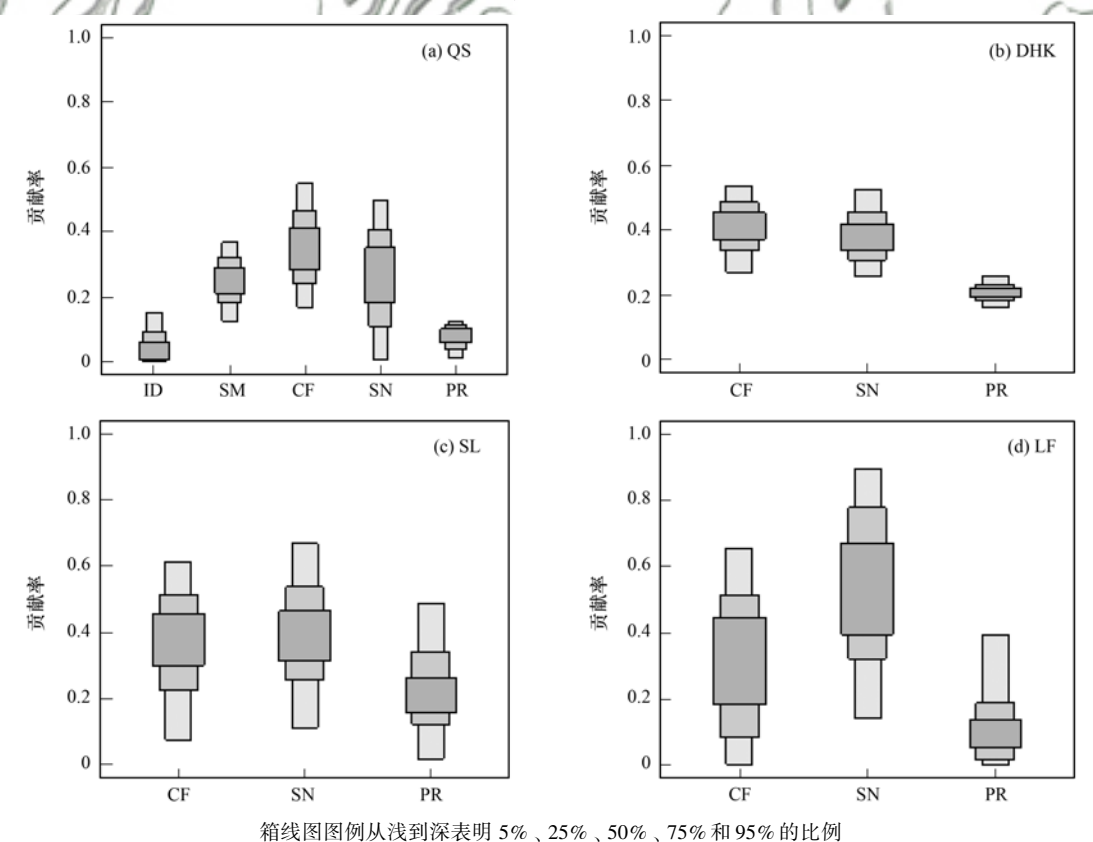


图 5 利用 SIAR 计算 5 种污染源对于 4 个水库硝酸盐的贡献比例

Fig. 5 Proportional contributions of five potential NO₃⁻ sources in the four reservoirs estimated by the SIAR model

究中可以将同位素分馏因素的影响考虑进 SIAR 模型的运算中.

4 结论

- (1)从水库水化学分析可知,青山水库各离子浓度最高,对河口水库、四岭水库和里畈水库各离子浓度较低,这与人类活动的强度密切相关. 4 个水库都存在严重的氮污染,其中无机氮以 NO₃ 为主.
- (2)通过水体硝酸盐的氮氧同位素分析结合 SIAR 模型定量计算发现, 化学肥料和土壤氮是 4 个水库的主要污染源, 其中化学肥料的贡献率达到 34%~41%, 土壤氮的贡献率达到 27%~51%, 种植业面源污染已成为水源地水环境氮污染的主要贡献者. 在受人类活动干扰较大的青山水库, 生活污水及粪肥带来的污染也不可忽视, 其贡献率为 25%. 受人为干扰较少的对河口水库、四岭水库和里畈水库,降水对氮污染的贡献也不可忽视, 其贡献率达 15%~24%. 同时发现 4 个水库中存在明显的硝化作用而反硝化作用不明显.

参考文献:

- [1] 中华人民共和国水利部. 2014年中国水资源公报[M]. 北京:中国水利水电出版社, 2015.
- [2] Li Y F, Li Y, Wu W. Threshold and resilience management of coupled urbanization and water environmental system in the rapidly changing coastal region [J]. Environmental Pollution, 2016, 208: 87-95.
- - Zhang C H, Huang T L, Fang K K, et al. Analysis of driving factors on the nitrogen decrease in the early stage of the thermal stratification in main area of Zhoucun reservoir [J]. Environmental Science, 2016, 37(11): 4187-4193.
- [4] 顾清. 浙江省饮用水水库水质演变及风险评价研究[D]. 杭州: 浙江大学, 2014. 20-26.
 Gu Q. Water quality evolution analysis and risk assessment for drinking water reservoir in Zhejiang Province [D]. Hangzhou: Zhejiang University, 2014. 20-26.
- [5] 何若英, 罗建良, 倪宏伟, 等. 对河口水库水质安全评价及 污染防治措施研究[J]. 浙江水利科技, 2010, (2): 1-3. He R Y, Luo J L, Ni H W, et al. Water quality evaluation and pollution control measures for estuarine reservoirs[J]. Zhejiang Hydrotechnics, 2010, (2): 1-3.
- [6] 施沁璇, 韦肖杭, 施礼科, 等. 浙江青山水库富营养化状况评价[J]. 水生态学杂志, 2015, **36**(4): 20-24. Shi Q X, Wei X H, Shi L K, *et al.* Water quality eutrophication assessment of Qingshan reservoir in Zhejiang Province [J]. Journal of Hydroecology, 2015, **36**(4): 20-24.
- [7] 聂泽宇,梁新强,邢波,等.基于氮磷比解析太湖苕溪水体营养现状及应对策略[J].生态学报,2012,32(1):48-55.

- Nie Z Y, Liang X Q, Xing B, et al. The current water trophic status in Tiaoxi River of Taihu Lake watershed and corresponding coping strategy based on N/P ratio analysis [J]. Acta Ecologica Sinica, 2012, 32(1); 48-55.
- [8] 邢萌, 刘卫国, 胡婧. 浐河、涝河河水硝酸盐氮污染来源的 氮同位素示踪[J]. 环境科学, 2010, **31**(10): 2305-2310. Xing M, Liu W G, Hu J. Using nitrate isotope to trace the nitrogen pollution in Chanhe and Laohe River[J]. Environmental Science, 2010, **31**(10): 2305-2310.
- [9] 徐志伟, 张心昱, 于贵瑞, 等. 中国水体硝酸盐氮氧双稳定同位素溯源研究进展[J]. 环境科学, 2014, **35**(8): 3230-3238.
 - Xu Z W, Zhang X Y, Yu G R, et al. Review of dual stable isotope technique for nitrate source identification in surface-and groundwater in China [J]. Environmental Science, 2014, 35 (8): 3230-3238.
- [10] 赵庆良,马慧雅,任玉芬,等. 利用δ¹⁵N-NO₃⁻ 和δ¹⁸O-NO₃- 示踪北京城区河流硝酸盐来源[J]. 环境科学, 2016, **37** (5): 1692-1698.

 Zhao Q L, Ma H Y, Ren Y F, et al. δ¹⁵N-NO₃⁻ and δ¹⁸O-NO₃⁻ tracing of nitrate sources in Beijing urban rivers [J]. Environmental Science, 2016, **37**(5): 1692-1698.
- [11] Xing M, Liu W G. Using dual isotopes to identify sources and transformations of nitrogen in water catchments with different land uses, Loess Plateau of China [J]. Environmental Science and Pollution Research, 2016, 23(1): 388-401.
- [12] Heaton T H E. Isotopic studies of nitrogen pollution in the hydrosphere and atmosphere; a review [J]. Chemical Geology; Isotope Geoscience Section, 1986, 59: 87-102.
- [13] Kendall C, Elliott E M, Wankel S D. Tracing anthropogenic inputs of nitrogen to ecosystems [A]. In: Michener R H, Lajtha K (Eds.). Stable Isotopes in Ecology and Environmental Science [M]. Malden, MA: Blackwell, 2007. 375-449.
- [14] Li R F, Ruan X H, Bai Y, et al. Effect of wheat-maize straw return on the fate of nitrate in groundwater in the Huaihe River Basin, China [J]. Science of the Total Environment, 2017, 592: 78-85.
- [15] Chae G T, Yun S T, Mayer B, et al. Hydrochemical and stable isotopic assessment of nitrate contamination in an alluvial aquifer underneath a riverside agricultural field [J]. Agricultural Water Management, 2009, 96(12): 1819-1827.
- [16] Xue D M, Botte J, De Baets B, et al. Present limitations and future prospects of stable isotope methods for nitrate source identification in surface-and groundwater [J]. Water Research, 2009, 43(5): 1159-1170.
- [17] Panno S V, Kelly W R, Hackley K C, et al. Sources and fate of nitrate in the Illinois River Basin, Illinois [J]. Journal of Hydrology, 2008, 359(1-2): 174-188.
- [18] Chen Z X, Liu G, Liu W G, et al. Identification of nitrate sources in Taihu Lake and its major inflow rivers in China, using δ¹⁵N-NO₃⁻ and δ¹⁸O-NO₃⁻ values [J]. Water Science Technology, 2012, 66(3): 536-542.
- [19] Bu H M, Song X F, Zhang Y, et al. Sources and fate of nitrate in the Haicheng River basin in Northeast China using stable isotopes of nitrate [J]. Ecological Engineering, 2017, 98: 105-113.
- [20] Parnell A C, Inger R, Bearhop S, et al. Source partitioning

- using stable isotopes; coping with too much variation [J]. PLoS One, 2010, 5(3); e9672.
- [21] Xue D M, De Baets B, Van Cleemput O, et al. Use of a Bayesian isotope mixing model to estimate proportional contributions of multiple nitrate sources in surface water [J]. Environmental Pollution, 2012, 161: 43-49.
- [22] Matiatos I. Nitrate source identification in groundwater of multiple land-use areas by combining isotopes and multivariate statistical analysis: a case study of Asopos basin (Central Greece) [J]. Science of the Total Environment, 2016, 541: 802-814.
- [23] Xia Y Q, Weller D E, Williams M N, et al. Using bayesian hierarchical models to better understand nitrate sources and sinks in agricultural watersheds [J]. Water Research, 2016, 105: 527-539.
- [24] Yang L P, Han J P, Xue J L, et al. Nitrate source apportionment in a subtropical watershed using Bayesian model [J]. Science of the Total Environment, 2013, 463-464; 340-347.
- [25] 金赞芳, 龚嘉临, 施伊丽, 等. 沉积物-水界面氮的源解析和 硝化反硝化研究 [J]. 环境科学, 2017, **38** (4): 1423-1430.

 Jin Z F, Gong J L, Shi Y L, *et al.* Nitrate source identification and nitrification-denitrification at the sediment-water interface
 - [J]. Environmental Science, 2017, **38**(4): 1423-1430.
- [26] HJ/T 91-2002, 地表水和污水监测技术规范[S].
- [27] HJ 636-2012, 水质 总氮的测定 碱性过硫酸钾消解紫外分光 光度法[S].
- [28] GB/T 8538-2008, 饮用天然矿泉水检验方法[S].
- [29] Casciotti K L, Sigman D M, Hastings M G, et al. Measurement of the oxygen isotopic composition of nitrate in seawater and freshwater using the denitrifier method [J]. Analytical Chemistry, 2002, 74(19): 4905-4912.
- [30] Révész K, Casciotti K. Determination of the δ(15 N/14 N) and δ (18 O/16 O) of nitrate in water; RSIL lab code 2900 [A]. In; Révész K, Coplen T B (Eds.). Methods of the Reston Stable Isotope Laboratory [M]. Reston, Virginia; United States Geological Survey, 2007. 24-25.
- [31] GB 3838-2002, 地表水环境质量标准[S].
- [32] Cao Y C, Sun G Q, Xing G X, et al. Natural abundance of ¹⁵N in main N-containing chemical fertilizers of China [J].

- Pedosphere, 1991, 1(4): 377-382.
- [33] 邢光熹,曹亚澄,施书莲,等.太湖地区水体氮的污染源和 反硝化[J].中国科学(B辑),2001,31(2):130-137.
- [34] 临安市环境保护局. 2016 年度临安市环境状况公报[EB/OL]. http://www.lanews.com.cn/flxx/content/2017-06/05/content_6190281.htm, 2017-06-05.
- [35] 张芬,杨长明,潘睿捷.青山水库表层沉积物重金属污染特征及生态风险评价[J].应用生态学报,2013,24(9):2625-2630.
 - Zhang F, Yang C M, Pan R J. Pollution characteristics and ecological risk assessment of heavy metals in surface sediments of Qingshan reservoir in Lin'an City, Zhejiang Province of East China[J]. Chinese Journal of Applied Ecology, 2013, 24(9): 2625-2630.
- [36] Liu C Q, Li S L, Lang Y C, et al. Using δ¹⁵N-and δ¹⁸O-Values to identify nitrate sources in karst ground water, Guiyang, Southwest China [J]. Environmental Science & Technology, 2006, 40 (22): 6928-6933.
- [37] Yue F J, Liu C Q, Li S L, et al. Analysis of δ¹⁵N and δ¹⁸O to identify nitrate sources and transformations in Songhua River, Northeast China [J]. Journal of Hydrology, 2014, 519: 329-339.
- [38] Liang X Q, Nie Z Y, He M M, et al. Application of ¹⁵N-¹⁸O double stable isotope tracer technique in an agricultural nonpoint polluted river of the Yangtze Delta Region [J]. Environmental Science and Pollution Research, 2013, 20(10): 6972-6979.
- [39] 徐兵兵, 卢峰, 黄清辉, 等. 东苕溪水体氮、磷形态分析及 其空间差异性[J]. 中国环境科学, 2016, **36**(4): 1181-1188. Xu B B, Lu F, Huang Q H, et al. Forms of nitrogen and
 - phosphorus and their spatial variability in East Tiaoxi River [J]. China Environmental Science, 2016, **36**(4): 1181-1188.
- [40] Kalbitz K, Solinger S, Park J H, et al. Controls on the dynamics of dissolved organic matter in soils: a review[J]. Soil Science, 2000, 165(4): 277-304.
- [41] Wu J S, Jiang P K, Chang S X, et al. Dissolved soil organic carbon and nitrogen were affected by conversion of native forests to plantations in subtropical China[J]. Canadian Journal of Soil Science, 2010, 90(1): 27-36.

HUANJING KEXUE

Environmental Science (monthly)

Vol. 39 No. 5 May 15, 2018

CONTENTS

Estimation of Fine Particle (PM _{2,5}) Emission Inventory from Cooking: Case Study for Shanghai	WANG Hong-li, JING Sheng-ao, LOU Sheng-rong, et al. (1971)
	GAO Ya-qin, WANG Hong-li, JING Sheng-ao, et al. (1978)
Seasonal Variation and Source Analysis of Water-soluble Inorganic Salts in PM _{2.5} in the Southern Suburbs of Beijing	the Quadrat Sampling Method
Characteristics and Source Apportonine of water-sounce morganic tons in road base 1392, 3 butting opining in rhanjin comp	
HONO Pollution Characteristics and Nighttime Sources During Autumn in Guangzhou, China	······ TIAN Zhi-lin, YANG Wen-da, YU Xiao-fang, et al. (2000)
Sulfur Sources and Oxidation Pathways in Summer Aerosols from Nanjing Northern Suburbs Using S and O Isotopes	HAN Xun, REN Jie, CHEN Shan-li, et al. (2010)
Methods for Determining and Applications of High-Resolution Vehicle Emission Inventory at County Scale	FAN Shou-bin, GUO Jin-jin, LI Xue-feng (2015)
Characteristics of Polycyclic Aromatic Hydrocarbons Emitted from Typical Industrial Biomass Boilers	LIN Yu-jun, BAI Li, WANG Huan-xiang, et al. (2023)
Research of Parameter Uncertainty for the HSPF Model Under Different Temporal Scales	······ PANG Shu-jiang, WANG Xiao-yan, MA Wen-jing (2030)
Contribution of Nitrogen Sources in Water Sources by Combining Nitrogen and Oxygen Isotopes and SIAR	
Pollution Characteristics and Health Risk Assessment of Volatile Organic Compounds in Baiyangdian Lake	
Fluorescent Characteristics and Environmental Significance of Particulate Organic Matter in Lake Taihu, China	LÜ Wei-wei, YAO Xin, ZHANG Bao-hua, et al. (2056)
Distribution and Settlement of Microplastics in the Surface Sediment of Yangtze Estuary	
Water Chemistry and Characteristics of Dissolved Organic Carbon During the Wet Season in Wulixia Reservoir, SW China	
Bioavailability of Dissolved Organic Carbon in Rivers for Typical Vegetation Types in the Permafrost Regions on the Qinghai-T	ibet Plateau ·····
7 - 0 - 7	MA Xiao-liang, LIU Gui-min, WU Xiao-dong, et al. (2086)
Characteristics of Dissolved Organic Matter (DOM) and Relationship with Dissolved Heavy Metals in a Peri-urban and an Urban and Characteristics of Dissolved Organic Matter (DOM) and Relationship with Dissolved Heavy Metals in a Peri-urban and an Urban and Characteristics of Dissolved Organic Matter (DOM) and Relationship with Dissolved Heavy Metals in a Peri-urban and an Urban and Characteristics of Dissolved Organic Matter (DOM) and Relationship with Dissolved Heavy Metals in a Peri-urban and an Urban and Characteristics of Dissolved Organic Matter (DOM) and Relationship with Dissolved Heavy Metals in a Peri-urban and an Urban and Characteristics of Dissolved Organic Matter (DOM) and Relationship with Dissolved Heavy Metals in a Peri-urban and Characteristics of Dissolved Organic Matter (DOM) and Relationship with Dissolved Heavy Metals in a Peri-urban and Characteristics of Dissolved Organic Matter (DOM) and Relationship with Dissolved Heavy Metals in a Peri-urban and Characteristics of Dissolved Organic Matter (DOM) and Relationship with Dissolved Heavy Metals in a Peri-urban and Domina (DOM) and DOM (DO	oan River
Migration and Transformation of Dissolved Organic Matter in Karst Water Systems and an Analysis of Their Influencing Factors	
Source and Distribution of Dissolved Metal Ions in the Backwater Area of Pengxi River in Three Gorges Reservoir	D. ZHAU Xiao-song, YU Jian-jun, FU Li, et al. (2117)
Differences in Diffusive Fluxes of Nutrients from Sediment Between the Natural River Areas and Reservoirs in the Lancang River Areas and Reservoirs in the River Areas and Reservoir	ver Basin WANG V., CHENG D., VANG 71,
Nutrient Distribution Characteristics of the Sediment-water System in the Xiangxi River During the Impoundment of TGR	WANG Alle, CHENG Bao, TANG Zheng-jian, et al. (2120)
Effects of Submerged Macrophytes on Different Phosphorus Fractions in Overlying Water and Interstitial Water	SU Qing-qing, LiU De-iu, Ji Dao-bin, et al. (2135)
Distribution Characteristics and Fluxes of Nitrogen and Phosphorus at the Sediment-water Interface of Yuqiao Reservoir	WEN Shari long CONC Won ging WIL Too at al. (2154)
Distribution of Phoenbarus Fractions in Surface Sediments of Minitage Mainstreams	WEN Shuar-long, GOING Wan-qing, WO Tao, et al. (2154)
Distribution of Phosphorus Fractions in Surface Sediments of Minjiang Mainstreams Nitrate Uptake Kinetics and Correlation Analysis in an Agricultural Drainage Ditch	II Ru-zhong VIN Oi-he CAO Su-di et al. (2174)
Influencing Factors for Phosphorus Removal by Modified Bio-ceramic Substrates Coated with ZnAl-LDHs Synthesized by Differ	ent Modification Conditions
influencing racios for risophoras removal by stouried bio confine canonical council with the risoback by billion	
Removal of Odorants in Drinking Water Using VUV/Persulfate	SIN Xin SHI Lu-xiao ZHANG Yi et al. (2195)
Degradation of OC with Peroxymonosulfate Activated by a MnFe O graphene Hybrid	
Mechanism of As(V) Removal from Water by Lanthanum and Cerium Modified Biochars	LI Jin, ZU Yan-gun, II Gang, et al. (2211)
Adsorption of Dissolved Organic Matter with Different Relative Molecular Masses on Inorganic Minerals and Its Influence on C	arbamazepine Adsorption Behavior
	IJANG Yu HE Jiang-tao ZHANG Si (2219)
Pollution Characteristics of Organophosphorus Flame Retardants in a Wastewater Treatment Plant Enhanced Coagulation as a Pretreatment for Low Temperature Wastewater	SUN Jia-wei, DING Wei-nan, ZHANG Zhan-en, et al. (2230)
Enhanced Coagulation as a Pretreatment for Low Temperature Wastewater	LIU Hai-long, REN Yu-xia, ZHANG Zhong-min (2239)
Operating Characteristics and Fouling Characteristics of a RO Membrane System for Desalination of Dyeing Wastewater	······· TAN Yu-jun, ZHANG Ze-tian, WU Qian-yuan, et al. (2249)
Optimization of the Nitrogen Removal Performance on the CANON Process in a Biofilm Reactor: From FBBR to MBBR	FU Kun-ming, LI Hui, ZHOU Hou-tian, et al. (2256)
Microbial Community Dynamics During Two Sludge Granulation Processes	······ GAO Jing-feng, ZHANG Li-fang, ZHANG Shu-jun, et al. (2265)
Sludge Conditioning Performance of Polyaluminum, Polyferric, and Titanium Xerogel Coagulants	······ WANG Xiao-meng, WANG Xin, YANG Ming-hui, et al. (2274)
Effects of Heat and Heat-alkaline Treatments on Disintegration and Dissolved Organic Matter in Sludge	
Effect of Different Ratios of Anaerobic Time and Aeration Time on the Formation of Partial Nitrification Granules	LI Dong, GUO Yue-zhou, CAO Mei-zhong, et al. (2289)
Spatial and Temporal Variation of Mercury in Municipal Sewage Sludge in China	
Characteristics of N_2O Release and Influencing Factors in Grass-type and Algae-type Zones of Taihu Lake During Summer \cdots	
Analysis of Greenhouse Gas Emission Characteristics and Their Influencing Factors in the Algae Zone of Lake Taihu	
Dynamics of CO ₂ and N ₂ O in Seasonal Frozen Soil Profiles for a Typical Steppe in Inner Mongolia	
Characteristics of CO ₂ Flux in a Mature Apple (Malus demestica) Orchard Ecosystem on the Loess Plateau	
Effects of Biochar Application Rates on Greenhouse Gas Emissions in the Purple Paddy Soil	
Short-Term Effects of Different Fertilization Treatments on Greenhouse Gas Emissions from Northeast Black Soil	
Eukaryotic Micro-plankton Community Diversity and Characteristics of Regional Distribution in the Yellow Sea by ITS High-through	roughput Sequencing
The state of the s	ZHANG Li, LIN Jia-ning, ZHANG Yuan, et al. (2368)
Influence of Different Patterns of Discharge on Microbial Diffusion in Municipal Treated Wastewater	
Impact of Tourism on Bacterial Communities of Karst Underground River: A Case Study from Two Caves in Fengdu, Chongqir	
Diversity of the Microbial Community in Rice Paddy Soil with Biogas Slurry Irrigation Analyzed by Illumina Sequencing Techn	
Effect of Biochar Amendment on Physicochemical Properties and Fungal Community Structures of Cinnamon Soil	
Carbon Metabolism Characteristics of the Karst Soil Microbial Community for Pb-Zn Mine Tailings	
Denitrification Characteristics and Community Structure of Aerobic Denitrifiers from Lake and Reservoir Sediments	
Investigation of the Coupling Mechanism Between Naphthalene Degradation and Denitrification of a Naphthalene Degraded Bac	ZHANG Z WANG M: CHENG V : 1 (2429)
Spatial Distribution Study and Pollution Assessment of Pb in Soils in the Xijiang River Drainage of Guangxi Effects of Agricultural Activities on Soil Mercury Changes in the Water-Level-Fluctuating Zone of the Three Gorges Reservoir	
Screening and Identification of Arsenic-resistant Endophytic Bacteria from Different Rice Tissues (Oryza sativa L.) in Different	
Screening and identification of Arsenic-resistant Endophytic Dacteria from Different Arce Tissues (<i>Oryza sativa</i> L.,) in Different	
Characteristics of Mercury Transformation in Soil and Accumulation in Rice Plants in an Acidic Purple Paddy Soil Area	WANG DO-Aut, WANG Auc-uoug, DUAN Gui-iaii (2404)
Life Cycle Environmental Impact Assessment on Different Modes of Greenhouse Vegetable Production in the North China Plain	
Health Effects of PM _{2.5} Based on Bacterial Toxicity Test and Transcriptional Analysis in Lungs of Mice	
2000 of 102, 5 Danes on Davieria Toricity 10st and Transcriptional Analysis in Lings of mice	control rong energy no one-ye, whit rong-pe, a ac. (2407)
Socio-economic Factors Influencing the Spatial Distribution of PM2.5 Concentrations in China; An Exploratory Analysis	DUAN Jie-xiong, ZHAI Wei-xin, CHENG Cheng-qi, et al. (2498)